

04:07:12

БИПОЛЯРНЫЙ КОРОННЫЙ РАЗРЯД В РАБОЧИХ СРЕДАХ N_2 - И СО-ЛАЗЕРОВ

© А.К.Шуаибов, А.Й.Миня,
В.В.Звенигородский, В.С.Шевера

Для эффективной работы импульсно-периодических N_2 - и СО-лазеров применяется принудительная прокачка рабочих смесей, как правило, при помощи копрессоров, вентиляторов или вакуумных насосов [1]. Механической прокачке сопутствует вибрация, возбуждение звуковых колебаний, малый ресурс работы движущихся узлов, что негативно сказывается на работе лазерных излучателей.

В [2] сообщалось о применении электрической прокачки рабочих сред $XeCl^*$ и N_2 -лазеров при частотах следования импульсов до 70 Гц. Прокачка типа электрический ветер получалась при помощи биполярного коронного разряда. Условия же получения и физические характеристики таких коронных разрядов в рабочих смесях N_2 - и СО-лазеров изучены мало. Нет данных о согласовании условий получения устойчивого коронного разряда с оптимизированными рабочими средами в данных молекулярных лазерах при атмосферных давлениях.

В настоящей работе приводятся результаты исследования характеристик биполярного коронного разряда в системе электродов "иголки-сетка" для рабочих сред лазеров на молекулах азота и окиси углерода. Эксперименты проводились на макете прокачки типа электрический ветер от малогабаритного эксимерного лазера [3].

1. Коронный разряд (КР) исследовался в системе электродов, состоящей из одного ряда иголок и никелевой сетки. Длина системы электродов — 10 см. Межэлектродное расстояние — 2 см. Радиус закругления острия иголок — 0.5 мм, а проволочек сетки — 0.15 мм.

Коронный разряд поджигался при помощи высоковольтного выпрямителя ($U = -10$ кВ), подключенного к иголкам через балластное сопротивление. Излучение КР анализировалось с помощью монохроматора МДР-2, фотоумножителя ФЭУ-106, усилителя и самописца. Излучение разряда отбиралось из средней части КР.

2. Вид КР в смесях гелия с молекулами N_2 и СО при давлениях 100–300 кПа сильно зависит от содержания молекул в смеси. При низком содержании молекул (< 1 кПа) КР

перекрывает весь межэлектродный промежуток и характеризуется высокой однородностью, при этом генерационные зоны выражены слабо.

С увеличением содержания молекулярных компонент КР приобретает классическую форму [4]: у иголок появляются генерационные зоны фиолетового ($\text{He}-\text{N}_2$) и желтого ($\text{He}-\text{CO}$) цветов. Сетка также покрыта однородным свечением этих же цветов, а между отрицательными и положительными генерационными зонами находится "темная" внешняя область биполярного КР.

Этот режим и представляет основной интерес для реализации прокачки газовых смесей типа электрический ветер [5].

3. На рис. 1 приведены типичные вольт-амперные характеристики (ВАХ) КР на смесях гелия с молекулами N_2 и CO. Для всех ВАХ характерно наличие гистерезиса, подобно ВАХ КР в инертных газах [6]. Как видно из рис. 1, в N_2 -средах наблюдается полная петля гистерезиса, а в CO-средах верхняя точка петли не достигалась. Ток КР увеличивается с уменьшением давления смесей. Так как скорость электрического ветра $v \sim \sqrt{I_{op}}$ [5], то для увеличения эффективности прокачки желательно применять рабочие смеси, оптимизированные при давлениях порядка атмосферного.

Так как в условиях данного эксперимента применялись в основном электроположительные смеси, то главными носителями тока являются электроны [4]. Заметим, что при добавлении в смесь $\text{He}-\text{Xe}$ -газов молекул хлористого водорода ток КР уменьшался примерно на два порядка, так как в основном носителями отрицательного заряда становятся отрицательные ионы.

4. В спектрах излучения гелия при давлении 300 кПа регистрируется широкополосное излучение гелия в диапазоне 200–600 нм и интенсивные полосы радикалов OH(A-X) в области 306–316 нм. Радикалы OH образуются вследствие наличия небольших примесей паров воды в гелии марки "BЧ". Широкополосное излучение гелия отождествлено в [7] как излучение на переходах He_2^+ ($\text{C}^2\Pi_u - \text{A}^2\Sigma_u^+$). С уменьшением давления He до 150 кПа интенсивность континуума гелия резко падает, а в спектре излучения появляются линии атомов гелия 3p, 3d, 4s, 4p, 4d состояний.

На рис. 2 приведены спектры излучения КР на смесях He/N_2 и $\text{He}/\text{N}_2/\text{CO}$. Наиболее интенсивными являются полосы излучения $\text{N}_2(\text{C-B})$, $\text{N}_2^+(\text{B-X})$, OH(A-X), CO(A-X), $\text{CO}^+(\text{B-X})$ в области 180–250 нм. В CO-средах в спектрах излучения отсутствуют полосы OH(A-X), а в спектральной области $\Delta\lambda > 300$ нм в основном наблюдаются полосы излу-

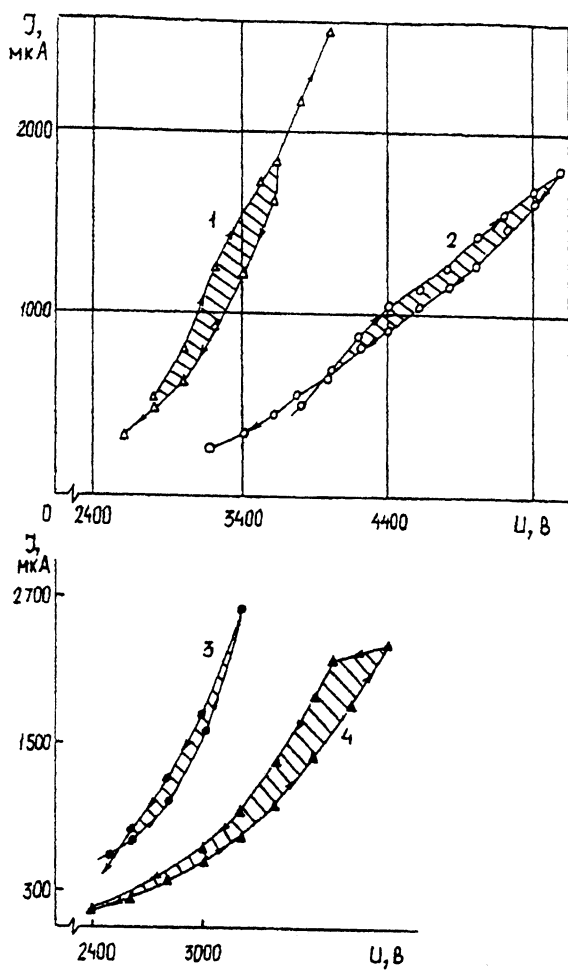


Рис. 1. Вольт-амперные характеристики коронного разряда на смесях: 1 — $\text{He}/\text{N}_2 = 150/1.3 \text{ кПа}$; 2 — $\text{He}/\text{N}_2 = 300/0.8 \text{ кПа}$; 3 — $\text{He}/\text{N}_2/\text{CO} = 136/0.002/1.6 \text{ кПа}$; 4 — $\text{He}/\text{N}_2/\text{CO} = 136/2.4/2.4 \text{ кПа}$.

чения $\text{N}_2(\text{C-B})$, $\text{N}_2^+(\text{B-X})$ и $\text{CN}(\text{B-A})$. В УФ области спектра излучение атомов гелия не наблюдалось.

На основании полученных спектров проведено исследование зависимостей относительных интенсивностей излучения полос $\text{N}_2(\text{C-B})$, $\text{N}_2^+(\text{B-X})$, $\text{OH}(\text{A-X})$, $\text{CO}(\text{A-X})$, $\text{CN}(\text{B-A})$ от величины тока КР, давления и состава рабочих смесей. Относительная интенсивность излучения полосы определялась как площадь соответствующей фигуры на диаграмм-

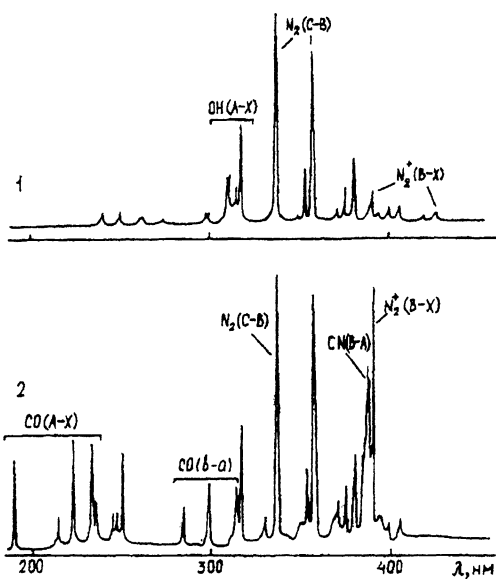


Рис. 2. Спектры излучения плазмы КР на смесях: 1 — $\text{He}/\text{N}_2 = 300/0.8 \text{ кПа}$, $I = 1500 \text{ мкА}$; 2 — $\text{He}/\text{N}_2/\text{CO} = 136/0.002/1.6 \text{ кПа}$, $I = 2200 \text{ мкА}$.

ной ленте самописца. На рис. 3 представлены только зависимости относительной интенсивности излучения полосы 337.1 нм N_2 (С-В) от величины тока КР.

При исследованиях зависимостей интенсивностей излучения полос 337.1 нм $\text{N}_2(\text{C}-\text{B})$, 391.0 нм $\text{N}_2^+(\text{B}-\text{X})$ и 316 нм $\text{OH}(\text{A}-\text{X})$ при малом содержании азота в смеси He/N_2 (рис. 1, кривая 1, на примере $\text{N}_2(\text{C}-\text{B})$) выявлена ступенчатая зависимость интенсивности от тока КР. С уменьшением давления гелия и увеличения содержания N_2 в смеси зависимости приобретают плавный характер. Интенсивности излучения полос N_2^* , N_2^{+*} , OH^* уменьшаются с понижением давления смеси.

Как известно, в азотосодержащей плазме при комнатных температурах существует четыре типа ионов азота N^+ , N_2^+ , N_3^+ , N_4^+ , а в плазме высокого давления интенсивно происходят процессы образования кластерных ионов азота [8,9]. При этом увеличение содержания азота в плазме приводит к конверсии ионов $\text{N}_{1,2,3}^+$ в N_4^+ [9]. Кроме того, в [10] приводятся данные об ионном составе плазмы послесвечения импульсного разряда на смеси $\text{He}/\text{N}_2 = 1/1$ при $P = 0.5 \text{ кПа}$ с малыми примесями паров воды, из которых следует, что в плазме образуются ионы: NO^+ , NH_4^+ , $\text{H}^+\cdot(\text{H}_2\text{O}_2)$, O_2^- , O_4^- .

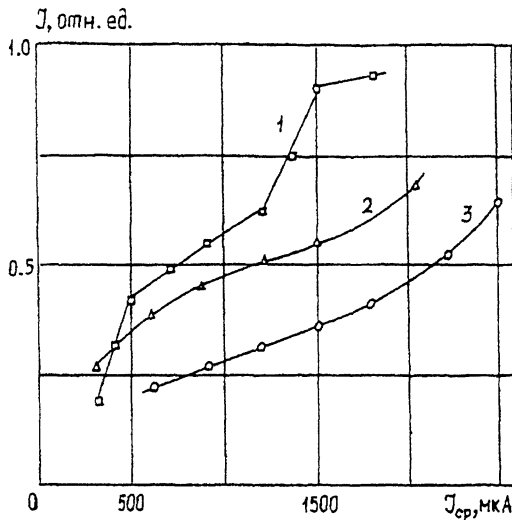


Рис. 3. Зависимости относительных интенсивностей излучения полосы 337.1 нм N_2 (О-В) от величины тока коронного разряда: 1 — $\text{He}/N_2 = 300/1$; 2 — $\text{He}/N_2 = 210/3.2$; 3 — $\text{He}/N_2 = 110/3.2$.

OH^- . Данные об ионном составе такой плазмы при атмосферных давлениях в настоящее время отсутствуют. КР в гелии характеризуется повышенным содержанием метастабильных частиц [11], что способствует протеканию процессов хемиионизации между ними. В результате этих процессов в плазме гелия появляются три группы быстрых электронов с энергиями в диапазоне 14–17 эВ [12], которые способны возбуждать молекулы азота в $C^3\Pi_u$ состояние. Хемиионизация молекулярных метастабилей — $\text{He}_2(m)$ приводит к появлению в плазме четырех типов ионов $\text{He}_n(n = 1 - 4)$ [13].

Исходя из этого, ломаный характер зависимостей интенсивностей полос от тока можно объяснить участием в процессах образования $N_2(C)$, $N_2^+(B)$, $\text{OH}(A)$ нескольких типов молекулярных ионов азота и гелия.

Наиболее вероятными процессами образования $N_2(O)$, $N_2^+(B)$, $\text{OH}(A)$ в условиях коронного разряда могут быть:

- диссоциативная рекомбинация кластерных ионов азота с электронами [14], взаимодействие $N_2(A)$ и $\text{He}(m)$ с $N_2(A)$, $N_2(X,v)$ [15],

- перезарядка ионов He_2^+ на N_2 [16],

- хемиионизация с возбуждением ионов $N_2^+(B)$, $\text{CO}^+(B)$ [17], рекомбинация He_n^+ , N_n^+ с H_2O^- .

Более детально исследование механизмов образования возбужденных молекул (N_2 , CO) и их ионов требует постановки специальных экспериментов по измерению концентраций метастабильных атомов Не и молекул в плазме коронного разряда.

Таким образом, эксперименты показали, что коронный разряд, пригодный для получения электрического ветра, реализуется при содержании молекул, больших 1 кПа. Для получения максимальной скорости электрического ветра давление смесей должно быть порядка атмосферного или ниже. Кроме того, в плазме коронного разряда на смесях He/ N_2 и He/ N_2 CO наблюдается образование возбужденных молекул $N_2^+(C)$, OH(A), CO(A), CO⁺(B), CN(B) и молекулярных ионов $N_2^+(B)$.

Список литературы

- [1] Месяц Г.А., Осипов В.В., Тарасенко В.Ф. Импульсные газовые лазеры. М.: Наука, 1991. 250 с.
- [2] Баранов А.М., Гурков К.В., Ломаев М.И. и др. // ПТЭ. 1994. № 4. С. 108–111.
- [3] Шуайбов А.К., Неймет Ю.Ю., Ходанич А.И., Шеевера В.С. // Опт. и спектр. 1993. Т. 75. В. 4. С. 713–716.
- [4] Капцов Н.А. Электрические явления в газах и в вакууме. М.: Гостехиздат, 1950.
- [5] Верещагин И.П. Коронный разряд в аппаратах электронно-ионной технологии. М.: Энергоатомиздат, 1986. 160 с.
- [6] Белевцев А.А. // IV Всес. конф. по физ. газ. разряда. Тез. докл. Махачкала, 1988. Ч. 1. С. 15–16.
- [7] Hill P.C. // Phys. Rev. A. 1991. V. 43. N 5. P. 2546–2549.
- [8] Словецкий Д.И. Механизмы химических реакций в неравновесной плазме. М.: Наука, 1980. 310 с.
- [9] Смирнов Б.М. Комплексные ионы. М.: Наука, 1983. 149 с.
- [10] Голубев В.С., Пашкин С.В. Тлеющий разряд повышенного давления. М.: Наука, 1990. 334 с.
- [11] Песков В.В. // ЖТФ. Т. 45. В. 12. С. 2444.
- [12] Колоколов Н.Б., Благоев А.Б. // УФН. 1993. Т. 163. № 3. С. 55–77.
- [13] Иванов В.А., Скобло Ю.Э. Химическая физика, 1989. Т. 8. № 4. С. 454–462.
- [14] Елецкий А.В., Смирнов Б.М. // УФН. 1982. Т. 136. В. 1. С. 25–59.
- [15] Ажаронок В.В., Антипов Е.С., Скутов Д.К., Филатова И.И. и др. Препринт Инст. физики им. Б.И. Степанова АН БССР. 1989. № 558.
- [16] Emmett F., Dux R., Langhoff H. // Appl. Phys. B. 1988. V. 47. N 2. P. 141–148.
- [17] Ионих Ю.З., Яковицкий С.П. // Опт. и спектр. 1990. Т. 68. В. 2. С. 288–293.